

Санкт-Петербургский государственный университет

**Овечкин Григорий Владимирович**

**Выпускная квалификационная работа**

**Оценки времени релаксации последовательности  
независимых случайных величин при соответствии RSK**

Образовательная программа бакалавриат «Математика»

Направление и код: 01.03.01 «Математика»

Шифр ОП: СВ.5000.2016

Научный руководитель:  
главный научный сотрудник  
Санкт-Петербургское отделение  
Математического института  
им. В. А. Стеклова РАН  
доктор ф.-м. наук  
Вершик Анатолий Моисеевич

Рецензент:  
доцент  
Академический университет  
им. Ж.И. Алферова  
кандидат ф.-м. наук  
Горячко Евгений Евгеньевич

Санкт-Петербург

2020 год

# Оглавление

1	Определения и постановка задачи	2
2	Разбиение $P$ -таблиц на уровни	3
3	Оценка распределения значения последнего элемента в первом столбце	4
4	Оценка сверху	6
5	Оценка снизу и вывод теоремы 1.1	7

## 1 Определения и постановка задачи

Рассматривается классическая схема Бернулли — последовательность независимых случайных величин одинаково распределенных (i.i.d) по мере Лебега  $m$  на отрезке  $[0, 1]$ . Пространство реализаций этой схемы есть бесконечномерный куб с мерой Лебега  $\mu = m^{\mathbb{N}}$ :  $\mathcal{X} = ([0, 1]^{\mathbb{N}}, \mu)$ . В работе доказывается (см. теорема 1.1), что при применении алгоритма RSK к  $\mathcal{X}$  с любой вероятностью меньшей 1 количество вставок, которое потребуется координате для попадания в первый столбец, можно оценить сверху и снизу квадратичными функциями от номера координаты. Данная работа частично (параграфы 1, 2, 3, 4) содержится в заметке [1], написанной автором совместно с И. Азангуловым.

Конечная версия алгоритма RSK (см. [2], [3], [4]) была обобщена на случай бесконечных последовательностей независимых одинаково распределённых величин в работе [5] А.М. Вершика и С.В. Керова. А именно, доказано, что пространство реализаций схемы Бернулли  $\mathcal{X}$  переводится с помощью последовательности нумерующих таблиц ( $Q$ -таблиц) в пространство бесконечных стандартных таблиц Юнга, при этом мера Лебега переходит в меру Планшереля. В недавней работе [6] было доказано, что этот гомоморфизм является изоморфизмом пространств с мерой. В этой работе мы изучаем статистику и асимптотику  $P$ -таблиц в процессе обобщенного RSK. По любой реализации  $\{x_n\}_n \in \mathcal{X}$  строится последовательность конечных записывающих таблиц  $\{P_n\}_n$  ( $P$ -таблиц), получающихся из начальных отрезков реализации:  $x^n = \{x_1, \dots, x_n\}$ , с помощью вставок алгоритма RSK (см. обозначения в [4])

$$P_n = \emptyset \leftarrow x_1 \leftarrow \dots \leftarrow x_n.$$

В этом процессе координаты реализаций меняют свое последовательное положение в  $P$ -таблице, при этом номер столбца, в котором содержится координата, убывает (нестрого). Заметим, что все координаты почти всех реализаций схемы Бернулли различны, и будем предполагать, что пространство  $\mathcal{X}$  состоит только из таких реализаций. Тем самым, координата почти любой реализации однозначно определяется своим значением.

А.М. Вершик доказал (см. [7]), что любая координата  $x_n$   $\mu$ -почти всякой реализации  $x \in \mathcal{X}$  попадает в некоторый момент  $N(x, n)$  в первый столбец  $P$ -таблицы, и поставил задачу об оценке величины  $N(x, n)$ . Ответ на этот вопрос дает

**Теорема 1.1.** *Для любого  $\varepsilon > 0$  существуют константы  $k = k(\varepsilon)$ ,  $K = K(\varepsilon)$  и число  $n_0 \in \mathbb{N}$  такие, что оценка  $kn^2 \leq N(x, n) \leq Kn^2$  верна для любого натурального числа  $n > n_0$  и любой реализации  $x$  из некоторого подмножества реализаций  $\mathcal{X}_{n,\varepsilon} \subset \mathcal{X}$ ,  $\mu(\mathcal{X}_{n,\varepsilon}) \geq 1 - \varepsilon$ . Более того, можно положить  $k(\varepsilon) = c\varepsilon^5$ ,  $K(\varepsilon) = C\varepsilon^{-5}$  для некоторых констант  $c, C > 0$ .*

## 2 Разбиение $P$ -таблиц на уровни

Основная идея доказательства заключается в рассмотрении двух последовательностей "срезов"  $P$ -таблиц Юнга и оценки значения элемента, находящегося в последней клетке первого столбца. Обозначим через  $\{X_n\}_n$  последовательность независимых одинаково распределенных случайных величин по мере Лебега на отрезке  $[0, 1]$ , а ее реализации будем обозначать через  $x = \{x_n\}_n$  или, если это существенно,  $\{X_n(x)\}_n$ . Пусть  $\{P_n(x)\}_n$  — последовательность  $P$ -таблиц Юнга, полученная при помощи алгоритма RSK из реализации  $x$ . Для произвольного числа  $c \in (0, 1]$  и реализации  $x$  рассмотрим последовательность "усеченных" таблиц  $\{P_n^c(x)\}_n$ , состоящих только из тех координат, которые не больше  $c$ :

$$P_n^c(x) = \emptyset \leftarrow x_{i_1} \leftarrow x_{i_2} \leftarrow \dots \leftarrow x_{i_s},$$

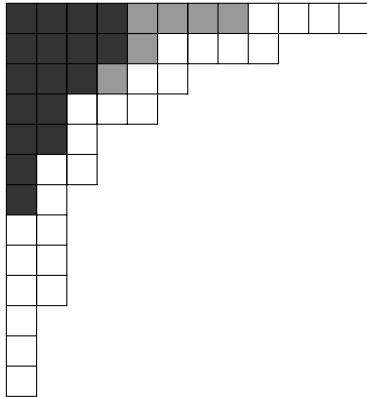
где  $\{i_1, \dots, i_s\} = \{i \leq n : x_i \leq c\}$ .

Заметим, что вставки между различными усечениями таблиц согласованы в том смысле, что есть коммутативная диаграмма

$$\begin{array}{ccc} \mathbb{T} & \xrightarrow{i_x} & \mathbb{T} \\ (-)^c \downarrow & & \downarrow (-)^c \\ \mathbb{T} & \xrightarrow{i_x} \mathbb{T} & \xrightarrow{(-)^c} \mathbb{T}, \end{array}$$

где  $\mathbb{T}$  — множество конечных таблиц Юнга со элементами из отрезка  $[0, 1]$ ,  $i_x$  — операция вставки числа  $x$ , а  $(-)^c$  — операция усечения.

Из этого следует, что для любого  $c \in (0, 1]$  таблица  $P_n^c$  есть подтаблица таблицы  $P_n$ , и если  $c \leq c'$ , то  $P_n^c$  есть подтаблица таблицы  $P_n^{c'}$ . На рис. 1 изображен пример срезов  $P$ -таблицы для параметров  $0 < c < c' < 1$ .



Черным цветом отмечены клетки, в которых стоят элементы  $x$ ,  $x \leq c$ . Серым цветом отмечены клетки, в которых стоят элементы  $x$ ,  $c < x \leq c'$ . В оставшихся клетках стоят элементы строго больше, чем  $c'$ .

Рис. 1. Разбиение  $P$ -таблицы на 3 уровня.

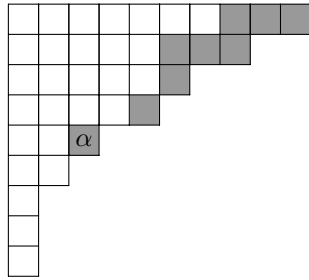
Для произвольного  $c \in (0, 1]$  обозначим через  $X_{c,n}$  случайную величину  $\max_{1 \leq i \leq n, X_i < c} X_i$ . Рассмотрим произвольную реализацию  $x$  и положим  $\alpha = x_n$ ,  $\beta = X_{\alpha,n}(x)$ . Тогда интересующие нас срезки — это срезки по параметрам  $\alpha$  и  $\beta$  ( $\beta < \alpha$ ). Из сказанного выше следует, что на динамику координаты  $\alpha$  не влияет та часть таблицы, в которой стоят координаты большие  $\alpha$ . В следующей лемме описываются последовательные положения координаты в зависимости от ее значения.

**Лемма 2.1.** *Зафиксируем реализацию  $x$  и обозначим  $\alpha = x_n$ ,  $\beta = X_{\alpha,n}(x)$ . Тогда для любого  $m \geq n$  в косо́й таблице  $P_m^\alpha \setminus P_m^\beta$  самая нижняя строка содержит единственный элемент  $\alpha$  (см. рис. 2).*

*Доказательство.* Докажем индукцией по  $m$ .

База:  $m = n$ . Косая таблица  $P_n^\alpha(x) \setminus P_n^\beta(x)$  содержит единственный элемент  $\alpha$ .

Переход:  $m \mapsto m+1$ . Пусть для  $m$  утверждение верно. Обозначим номер строки, содержащей элемент  $\alpha$ , в таблице  $P_m^\alpha$  через  $l$ . Рассмотрим  $m+1$ -ую вставку Шенстеда. Прежде всего заметим, что можно не обращать внимание на вставки координат больших  $\alpha$ , потому как они не меняют таблицу  $P_m^\alpha$ . Если процесс выбивания (см. терминологию в [4]) остановился до  $l$ -ой строки, то элементы в клетках, стоящих в строках с номерами не меньше  $l$ , не поменялись. Значит, утверждение леммы будет выполняться и для  $P_{m+1}^\alpha$ . Пусть теперь процесс выбивания дошел до строки с номером  $l$ . Рассмотрим два случая: в  $l$ -ой строке выбили элемент  $\alpha$  и в  $l$ -ой строке выбили элемент меньший, чем  $\alpha$ . В первом случае элемент  $\alpha$  перешел в  $l+1$ -ую строку, при этом в строчках от  $l+1$ -ой до последней остальные элементы не поменялись и были по предположению меньше, чем  $\beta$ . Во втором случае выбился элемент не большее, чем  $\beta$ , но его мог выбить только элемент меньший его, значит единственный новый элемент в строках от  $l$ -ой до последней меньше, чем  $\beta$ .  $\square$



Серым цветом выделена косо́я таблица  $P_m^\alpha(x) \setminus P_m^\beta(x)$ .

**Рис. 2.** Позиция элемента  $\alpha$  в процессе изменения  $P$ -таблицы.

В терминах доказанной леммы можно дать следующий критерий попадания координаты в первый столбец.

**Следствие 2.2.** Элемент  $\alpha$  лежит в первом столбце таблицы  $P_N^\alpha$ , а значит, и таблицы  $P_N$ , тогда и только тогда, когда в первом столбце таблицы  $P_N^\alpha$  есть элемент больший  $\beta$ .

### 3 Оценка распределения значения последнего элемента в первом столбце

В данном параграфе рассматриваются только конечные начальные отрезки реализаций  $x^n = \{x_i\}_1^n$  последовательности независимых случайных величин. Положим  $P(x^n) = P_n(x)$ . Задача состоит в оценке значения координаты, находящейся в последней клетке первого столбца таблицы  $P(x^n)$ . Для ее оценки сначала оценивается ее порядковый номер (т.е. место, на котором она бы стояла, если бы мы отсортировали последовательность по возрастанию) в части реализации  $x^n$ . Обозначим через  $\Sigma_n$  отображение, сопоставляющее реализации  $x$  перестановку из порядковых номеров ее первых  $n$  координат. Из предыдущего замечания о значениях координат ясно, что,  $\sigma = \Sigma_n(X)$  есть однозначно определенная случайная перестановка, распределенная равномерно на  $S_n$ . Для простоты можно отождествить перестановки с элементами группы  $S_n$ , которые они задают.

Обозначим через  $[n]$  множество  $\{1, 2, \dots, n\}$ . Диаграмму, соответствующую таблице, обозначим через  $\text{sh}(\cdot)$ . А через  $\dim(\cdot)$  обозначим количество стандартных таблиц данной диаграммы. Пусть  $t$  — произвольная таблица с диаграммой  $\lambda$  ( $t \vdash \lambda$ ). Тогда  $\#\{\sigma \in S_n | P(\sigma) = t\} = \dim(\lambda)$ . Значит, равномерная мера на  $S_n$  переходит в некоторую меру  $\nu_n$  на  $P$ -таблицах, задаваемую по формуле  $\nu_n(P) = \dim(\lambda)/(n!)$ . Напомним, что это есть мера Планшереля на таблицах.

Для произвольной подстановки  $\sigma \in S_{n-1}$  обозначим через  $P(\sigma)$  и  $f(\sigma)$  ее  $P$ -таблицу и последний элемент в первой строке этой таблице, соответственно. Для произвольной диаграммы  $\lambda \vdash (n-1)$  обозначим через  $\hat{\lambda}$  диаграмму Юнга из  $n$  клеток, отличающуюся от диаграммы  $\lambda$  ровно на одну клетку в первой строке.

**Лемма 3.1.** Математическое ожидание элемента  $f(\sigma)$  вычисляется по формуле

$$E_{\nu_{n-1}}(f(\sigma)) = n - \frac{1}{(n-1)!} \sum_{\lambda \vdash (n-1)} \dim(\lambda) \cdot \dim(\hat{\lambda}). \quad (1)$$

*Доказательство.* По определению математического ожидания имеем

$$n! - (n-1)!E_{\nu_{n-1}}(f) = \sum_{\sigma} (n - f(\sigma)). \quad (2)$$

Остается показать, что

$$\sum_{\sigma} (n - f(\sigma)) = \sum_{\lambda \vdash (n-1)} \dim(\lambda) \cdot \dim(\hat{\lambda}). \quad (3)$$

Это легко доказать, используя биекцию между следующими множествами:

- (i) Множество  $H_1$  пар  $(\sigma, k + 1/2)$ , где  $\sigma \in S_{n-1}$ , а  $k + 1/2 > f(\sigma)$  и  $k \in [n-1]$ ,
- (ii) Множество  $H_2$  пар стандартных таблиц юнга  $(P, Q)$  одинаковой формы, где таблица  $P$  состоит в точности из элементов  $1, 2, \dots, n-1, k + 1/2$ , где  $k \in [n-1]$ , причем элемент  $k + 1/2$  стоит на последнем месте первой строки, а таблица  $Q$  состоит из элементов  $[n]$ , причем элемент  $n$  стоит в первой строке.

Построим отображение  $H_1 \rightarrow H_2$ . Произвольный элемент  $\sigma$  задает пару таблиц  $(P(\sigma), Q(\sigma))$ , элемент  $k + 1/2$  после вставки Шенстеда обязательно встанет в конец первой строки на свободное место. Значит,  $Q$ -таблица теперь будет содержать элемент  $n$  в первой строке. Перестановка при обратном отображении получается посредством композиции удалений элемента  $k + 1/2$  из  $P$ -таблицы и элемента  $n$  из  $Q$ -таблицы, а также обратного алгоритма  $RSK$ . Элемент  $k + 1/2$  восстанавливается однозначно. Несложно видеть, что это взаимно обратные отображения.

Каждому  $\sigma \in S_{n-1}$  соответствует ровно  $n - x(\sigma)$  пар из первого множества. А значит мощность первого множества равна  $\sum_{\sigma} (n - x(\sigma))$ . Понятно, что стандартные  $P$ -таблицы и  $P$ -таблицы из второго множества состоят в естественной биекции, сохраняющей порядок между элементами. Поэтому мощность второго множества равна количеству пар стандартных таблиц Юнга из  $n$  клеток одинаковой формы, где  $Q$ -таблица содержит элемент  $n$  в первой строке. Количество таких пар равно  $\sum_{\lambda \vdash (n-1)} \dim(\lambda) \cdot \dim(\hat{\lambda})$ . Приравняв мощности, получим

$$\sum_{\lambda \vdash (n-1)} \dim(\lambda) \cdot \dim(\hat{\lambda}) = \sum_{\sigma} (n - f(\sigma)).$$

Вместе с равенством (2) это дает доказательство формулы (1).  $\square$

Оценки асимптотики других моментов приведем ниже (см. параграф 5).

Из леммы несложно вывести оценки на  $\mathbb{E}_{\nu_n}(f(\sigma))$ . Для краткости положим  $a_\lambda = \dim(\lambda)$ ,  $b_\lambda = \dim(\hat{\lambda})$ . По неравенству Коши-Буняковского

$$\left( \sum_{\lambda \vdash (n-1)} \frac{a_\lambda b_\lambda}{(n-1)!} \right)^2 \leq \left( \sum_{\lambda \vdash (n-1)} \frac{a_\lambda^2}{(n-1)!} \right) \cdot \left( \sum_{\lambda \vdash (n-1)} \frac{b_\lambda^2}{(n-1)!} \right) = n \cdot \sum_{\lambda \vdash (n-1)} \frac{b_\lambda^2}{n!} \leq n.$$

Несложными преобразованиями получаем следующее

**Следствие 3.2.** Для любого  $n > 1$  верно, что  $\frac{1}{\sqrt{n}}(n - \mathbb{E}_{\nu_{n-1}} f(\sigma)) \leq 1$ .

Вернемся к задаче, поставленную в начале параграфа. Обозначим через  $W(x, n-1)$  значение, стоящее в последней клетке первого столбца  $P(x^{n-1})$ , и пусть  $\sigma = \Sigma_{n-1}(x)$ . Заметим, что порядковые номера элементов, стоящих в последней клетке первого столбца и последней клетке первой строки, распределены одинаково. Положим,  $l \stackrel{d}{=} f(\sigma)$  есть случайная величина равная порядковому номеру  $W$ , где  $W = W(x, n-1)$ . Тогда

$$\mathbb{E}W = \mathbb{E}X_{(l)} = \sum_i \mathbb{P}\{l = i\} \mathbb{E}X_{(i)} = \sum_i \mathbb{P}\{l = i\} \cdot \frac{i}{n} = \frac{\mathbb{E}l}{n},$$

где  $X_{(i)}$  обозначает  $i$ -ую порядковую статистику в конечной последовательности  $\{X_j\}_1^{n-1}$ . Получаем

**Следствие 3.3.** Имеется следующая оценка распределения случайной величины  $W$  ( $W = W(x, n-1)$ ).

$$\mathbb{P}\{W > 1 - \frac{t}{\sqrt{n}}\} \geq 1 - \frac{1}{t}. \quad (4)$$

*Доказательство.* Из неравенства Маркова и следствия 3.2

$$\mathbb{P}\{W > 1 - \frac{t}{\sqrt{n}}\} = \mathbb{P}\{(1 - W)\sqrt{n} < t\} \geq 1 - \frac{\mathbb{E}(1 - W)\sqrt{n}}{t} \geq 1 - \frac{1}{t}. \quad \square$$

## 4 Оценка сверху

В данном параграфе приводится доказательство оценки сверху на случайную величину  $N(X, n)$ .

**Теорема 4.1.** Для любых  $\varepsilon > 0$  и  $n \in \mathbb{N}$  существуют константа  $\tilde{K} = \tilde{K}(\varepsilon)$  и подмножество реализаций  $\mathcal{X}_{n,\varepsilon} \subset \mathcal{X}$ ,  $\mu(\mathcal{X}_{n,\varepsilon}) \geq 1 - \varepsilon$ , такие, что для любой реализации  $x \in \mathcal{X}_{n,\varepsilon}$  имеет место оценка  $N(x, n) \leq \tilde{K}n^2$ .

Напомним, что  $\{X_n\}_n$  есть последовательность независимых случайных величин одинаково распределенных по мере Лебега на отрезке  $[0, 1]$ . Обозначим количество элементов не больших  $c$  в конечной последовательности  $\{X_n\}_1^N$  через  $q^c(N)$ . Докажем две технические леммы о распределениях случайных величин  $X_{c,n}$  и  $q^c(N)$ .

**Лемма 4.2.** Если  $0 < \varepsilon \leq \frac{1}{3}$ , то для любого  $\alpha \in (0, 1]$  верно, что  $\mathbb{P}\{X_{\alpha,n} \leq \alpha(1 - \frac{\varepsilon}{2n}) | X_n = \alpha\} \geq 1 - \varepsilon$ .

*Доказательство.* Заметим, что если  $0 < \varepsilon \leq \frac{1}{3}$ , то  $1 - \frac{\varepsilon}{2n} \geq \sqrt[3]{1 - \varepsilon}$ . Пользуясь независимостью в последовательности  $\{X_i\}$ , получаем

$$\begin{aligned} \mathbb{P}\{X_{\alpha,n} \leq \alpha(1 - \frac{\varepsilon}{2n}) | X_n = \alpha\} &\geq \mathbb{P}\{X_{\alpha,n} \leq \alpha \sqrt[3]{1 - \varepsilon} | X_n = \alpha\} = \\ &= \mathbb{P}\{\forall 1 \leq i \leq n \ X_i < \alpha \Rightarrow X_i \leq \alpha \sqrt[3]{1 - \varepsilon}\} = \prod_{X_i < \alpha} \mathbb{P}\{X_i \leq \alpha \sqrt[3]{1 - \varepsilon} | X_i < \alpha\} = \\ &= (1 - \varepsilon)^{q^\alpha(n-1)/n} \geq (1 - \varepsilon). \quad \square \end{aligned}$$

**Лемма 4.3.** Пусть  $\alpha \in (0, 1]$ ,  $\varepsilon \in (0, 1)$  и  $n \leq N$ . Если  $N \geq \frac{1}{4\varepsilon^3}$ , то  $\mathbb{P}\{|q^\alpha(N) - N\alpha| \leq N\varepsilon | X_n = \alpha\} \geq 1 - \varepsilon$ .

*Доказательство.* Требуемая оценка сразу вытекает из независимости  $\{X_i\}_1^N$ , неравенства Чебышёва и условия на  $N$ .  $\square$

Далее выводится доказательство теоремы 4.1.

*Доказательство.* Пусть  $A$  и  $B$  есть случайные величины такие, что  $A = X_n$ , а  $B = X_{A,n}$ , где  $X_{A,n}$  есть случайная величина равная  $\max_{1 \leq i \leq n, X_i < A} X_i$ .

Положим  $\varepsilon' = \frac{\varepsilon}{5}$ . По лемме 4.1  $\mathbb{P}\{\frac{B}{A} \leq 1 - \frac{\varepsilon'}{2n}\} = \int \mathbb{P}\{\frac{B}{\alpha} \leq 1 - \frac{\varepsilon'}{2n} | A = \alpha\} d\alpha \geq 1 - \varepsilon'$ . Обозначим через случайную величину  $W(x)$  элемент, находящийся в последней клетке первого столбца таблицы  $P_N^A(x)$ . Получаем, что

$$\begin{aligned} \mathbb{P}\{W > B\} &= \mathbb{P}\{\frac{W}{A} > \frac{B}{A}\} \geq \mathbb{P}\{(\frac{W}{A} > 1 - \frac{\varepsilon'}{2n}) \& (1 - \frac{\varepsilon'}{2n} \geq \frac{B}{A})\} \geq \\ &\geq \mathbb{P}\{\frac{W}{A} > 1 - \frac{\varepsilon'}{2n}\} + \mathbb{P}\{1 - \frac{\varepsilon'}{2n} \geq \frac{B}{A}\} - 1 \geq \mathbb{P}\{\frac{W}{A} > 1 - \frac{\varepsilon'}{2n}\} - \varepsilon'. \end{aligned} \quad (5)$$

Для каждой реализации  $x^N$  оставим только координаты не большие  $A(x)$ , таких будет  $q^A(N)(x)$  штук, и отнормируем их, поделив на  $A(x)$ . При фиксированном  $q^A(N)$ , переходя к условной мере, мы опять получим множество реализаций для конечной последовательности независимых случайных величин распределенных по мере Лебега на отрезке  $[0, 1]$ . Значит, к ней применимы утверждения из параграфа 3. Тогда, используя неравенство (4), можно продолжить цепочку неравенств (5)

$$\begin{aligned} \mathbb{P}\{\frac{W}{A} > 1 - \frac{\varepsilon'}{2n}\} &\geq \sum_i \mathbb{P}\{\frac{W}{A} > 1 - \frac{\varepsilon'}{2n} | q^A(N) = i\} \cdot \mathbb{P}\{q^A(N) = i\} \geq \\ &\geq \sum_{i \geq 4n^2/\varepsilon'^4} (1 - \frac{2n}{\varepsilon' \sqrt{q^A(N) + 1}}) \cdot \mathbb{P}\{q^A(N) = i\} \geq (1 - \varepsilon') \cdot \mathbb{P}\{q^A(N) \geq \frac{4n^2}{\varepsilon'^4}\}. \end{aligned} \quad (6)$$

Используя лемму 4.2, получаем, что

$$\begin{aligned} \mathbb{P}\{q^A(N) \geq \varepsilon' N\} &\geq \int_{\alpha > 2\varepsilon'} \mathbb{P}\{q^\alpha(N) \geq \varepsilon' N | A = \alpha\} d\alpha \geq \\ &\geq \int_{\alpha > 2\varepsilon'} \mathbb{P}\{q^\alpha(N) \geq (A - \varepsilon')N | A = \alpha\} d\alpha \geq (1 - \varepsilon')(1 - 2\varepsilon') \geq 1 - 3\varepsilon'. \end{aligned} \quad (7)$$

Тогда если  $N \geq \frac{4n^2}{\varepsilon'^5}$ , то по неравенствам (5), (6) и (7)

$$\mathbb{P}\{W > B\} \geq (1 - \varepsilon') \cdot \mathbb{P}\{q^A(N) \geq \frac{4n^2}{\varepsilon'^4}\} - \varepsilon' \geq (1 - \varepsilon')(1 - 3\varepsilon') - \varepsilon' \geq 1 - 5\varepsilon' = 1 - \varepsilon.$$

Остается применить следствие 2.2, и получить, что для  $\tilde{K}(\varepsilon) = \frac{5^5 2^2}{\varepsilon^5}$  вероятность попадания  $n$ -ой координаты в первый столбец за  $\tilde{K}(\varepsilon)n^2$  вставок не меньше, чем  $1 - \varepsilon$ .  $\square$

## 5 Оценка снизу и вывод теоремы 1.1

В данном параграфе доказывается оценка снизу из теоремы 1.1.

**Теорема 5.1.** Для любого  $\varepsilon > 0$  существует константы  $\tilde{k}$  и  $n_0$  такие, что оценка  $N(x, n) \geq \tilde{k}n^2$  верна для любого натурального числа  $n > n_0$  и любой реализации  $x$  из некоторого подмножества реализаций  $\mathcal{X}_{n,\varepsilon} \subset \mathcal{X}$ ,  $\mu(\mathcal{X}_{n,\varepsilon}) \geq 1 - \varepsilon$ .

Напомним, что  $f(\sigma)$  есть последний элемент в первой строке таблицы  $P(\sigma)$ . И. Азангулов изучал моменты такой величины и получил следующую асимптотику для флуктуаций последнего элемента (см. работу [8]), которая используется ниже. Если  $\sigma \in S_N$  есть случайная перестановка с равномерным распределением, то для любого натурального  $k$  верно следующее равенство

$$\lim_{N \rightarrow \infty} \mathbb{E} \left( \frac{N - f(\sigma)}{\sqrt{N}} \right)^k = k!.$$

Напомним, что  $\{X_n\}_n$  есть последовательность независимых случайных величин распределенных по мере Лебега на отрезке  $[0, 1]$ ,  $W(x, N)$  (для краткости будем писать просто  $W$ ) есть последний элемент в первом столбце  $P$ -таблицы, получившейся из начального отрезка  $\{x_n\}_1^N$  реализации  $x$ ,  $l = l(N)$  — номер  $W$  после упорядочивания начального отрезка  $\{x_i\}_1^N$  по возрастанию. Заметим, что  $l$  и  $f(\sigma)$  равны по распределению, следовательно, у случайных величин  $(N - l)/\sqrt{N}$  и  $(N - f(\sigma))/\sqrt{N}$  совпадают моменты. Имеется соотношение (равенство (8)) между этими моментами и моментами случайной величины  $\sqrt{N}(1 - W)$ . Обозначим пушфорвард меры Лебега  $\mu$  при отображении  $W$  через  $\tilde{\mu}$ , а пушфорвард условной меры  $\mu(X|\Sigma_N(X) = \sigma)$  ( $\Sigma_N(X)$  сопоставляет начальному отрезку последовательности  $X$  соответствующую перестановку) при том же отображении через  $\tilde{\mu}_\sigma$ . Также обозначим через  $\beta_{a,b}$  меру соответствующую бета-распределению с плотностью  $x^a(1-x)^b/B(a,b)$ .

$$\begin{aligned} \mathbb{E}(\sqrt{N}(1 - W))^k &= N^{k/2} \int_0^1 (1-x)^k d\tilde{\mu} = N^{k/2} \sum_{\sigma \in S_N} \frac{1}{N!} \int_0^1 (1-x)^k d\tilde{\mu}_\sigma \\ &= N^{k/2} \sum_{\sigma \in S_N} \frac{1}{N!} \int_0^1 (1-x)^k d\beta_{f(\sigma), N+1-f(\sigma)} \\ &= N^{k/2} \sum_{s=1}^N \mathbb{P}\{f(\sigma) = s\} \int_0^1 x^k d\beta_{N+1-s, s} \\ &= N^{k/2} \sum_{s=1}^N \mathbb{P}\{f(\sigma) = s\} \frac{(N+1-s)^k}{(N+1)^k} \\ &= \frac{N^{k/2}}{(N+1)^k} \sum_{s=1}^N \sum_{m=1}^k \mathbb{P}\{f(\sigma) = s\} c(k, m) (N+1-s)^m \\ &= \frac{N^{k/2}}{(N+1)^k} \sum_{m=1}^k c(k, m) \mathbb{E}(N+1-f(\sigma))^m \\ &= \sum_{m=1}^k \frac{N^{k/2+m/2}}{(N+1)^k} c(k, m) \mathbb{E} \left( \frac{N+1-f(\sigma)}{\sqrt{N}} \right)^m \\ &= \sum_{m=1}^k \sum_{i=0}^m c(k, m) \binom{m}{i} \frac{N^{k/2+m/2}}{(N+1)^k N^{(m-i)/2}} \mathbb{E} \left( \frac{N-f(\sigma)}{\sqrt{N}} \right)^i, \quad (8) \end{aligned}$$

где  $c(k, m)$  — беззнаковые числа Стирлинга первого рода.

Устремляя,  $N$  к бесконечности получаем, что все слагаемые, кроме одного, где  $i = m = k$ , устремятся



к 0, значит,

$$\lim_{N \rightarrow \infty} \mathbb{E}(\sqrt{N}(1 - W(x, N))^k) = \mathbb{E}\left(\frac{N - f(\sigma)}{\sqrt{N}}\right)^k = k!.$$

Такие моменты имеет распределение  $\exp(1)$ , оно единственно, так как эти моменты удовлетворяют условию Карлемана. Из сходимости моментов следует сходимость по распределению, следовательно, для любого  $t > 0$  существует  $N_0$  такое, что для любого  $N > N_0$  выполняется неравенство

$$\mathbb{P}\left\{W < 1 - \frac{\varepsilon}{\sqrt{2N}}\right\} = \mathbb{P}\left\{\sqrt{N}(1 - W) > \frac{\varepsilon}{2}\right\} \geq e^{-\varepsilon} > 1 - \varepsilon \quad (9)$$

Далее приводится доказательство теоремы 5.1.

*Доказательство.* Положим  $\varepsilon' = \varepsilon/6$ . Пусть  $A$  и  $B$  — случайные величины, такие, что  $A = X_n$ , а  $B = X_{A,n}$ , где  $X_{A,n} = \max_{1 \leq i \leq n, X_i < A} X_i$ . Рассмотрим теперь последовательность усеченных таблиц  $\{P_m^\alpha\}_m$  и обозначим через  $W$  последний элемент в первом столбце усеченной таблицы  $P_N^\alpha$ . Как известно из следствия 2.2, для того, чтобы координата  $x_n$  не лежала в первом столбце таблицы  $P_N$  достаточно, чтобы выполнялось неравенство  $B \geq W(N)$ . Для краткости будем писать  $q$  вместо  $q^\alpha(n)$ . Положим пока, что  $A = \alpha$ , и не будем писать это условие в вероятностях. Применяя неравенство Чебышева, получаем следующую цепочку неравенств

$$\begin{aligned} \mathbb{P}\left\{\frac{B}{\alpha} > \frac{\alpha n}{\alpha n + 2} - s\right\} &\geq \mathbb{P}\left\{\frac{B}{\alpha} > \frac{q}{q+1} - s \text{ \& } q \geq \frac{\alpha n}{2}\right\} \\ &= \sum_i \mathbb{P}\left\{\frac{B}{\alpha} > \frac{q}{q+1} - s \text{ \& } q \geq \frac{\alpha n}{2} \mid q = i\right\} \cdot \mathbb{P}\{q = i\} \\ &\geq \sum_{i \geq \alpha n/2} \left(1 - \frac{q}{(q+1)^2(q+2)s^2}\right) \cdot \mathbb{P}\{q = i\} \\ &\geq \left(1 - \frac{\alpha n/2}{(\alpha n/2 + 1)^2(\alpha n/2 + 2)s^2}\right) \left(1 - \frac{4\alpha(1-\alpha)}{n}\right) \end{aligned}$$

При подстановке  $s = 2/(n\alpha\sqrt{\varepsilon'})$  получается, что

$$\mathbb{P}\left\{\frac{B}{\alpha} > 1 - \frac{4}{\alpha\sqrt{\varepsilon'}} \cdot \frac{1}{n}\right\} \geq \mathbb{P}\left\{\frac{B}{\alpha} > \frac{\alpha n}{\alpha n + 2} - \frac{2}{n\alpha\sqrt{\varepsilon'}}\right\} \geq \left(1 - \frac{\alpha^3 n^3 \varepsilon'}{(\alpha n + 2)^2(\alpha n + 4)}\right) \left(1 - \frac{4\alpha(1-\alpha)}{n}\right) \geq 1 - \varepsilon' - \frac{1}{n}$$

Теперь оценим общую вероятность, т.е. без условия  $A = \alpha$ .

$$\mathbb{P}\left\{\frac{B}{A} > 1 - \frac{4}{\varepsilon'\sqrt{\varepsilon'}} \cdot \frac{1}{n}\right\} \geq \int_\varepsilon^1 \mathbb{P}\left\{\frac{B}{\alpha} > \frac{4}{\varepsilon'\sqrt{\varepsilon'}} \cdot \frac{1}{n} \mid A = \alpha\right\} d\alpha \geq \left(1 - \varepsilon' - \frac{1}{n}\right)(1 - \varepsilon') \geq 1 - 2\varepsilon' - \frac{1}{n} \quad (10)$$

Для каждой реализации  $x^N$  оставим только координаты не большие  $A(x)$ , таких будет  $q^A(N)(x)$  штук, и нормируем их, поделив на  $A(x)$ . При фиксированном  $q^A(N)$ , переходя к условной мере, мы опять получим множество реализаций для конечной последовательности независимых случайных величин распределенных по мере Лебега на отрезке  $[0, 1]$ . Тогда, используя неравенство (9), оценим значения  $W/A$ . Для краткости положим, что  $q = q^\alpha(N)$ .

$$\begin{aligned} \mathbb{P}\left\{\frac{W}{A} < 1 - \frac{\varepsilon'}{2\sqrt{N}}\right\} &= \int_0^1 \sum_i \mathbb{P}\left\{\frac{W}{\alpha} < 1 - \frac{\varepsilon'}{2\sqrt{N}} \mid A = \alpha, q = i\right\} \cdot \mathbb{P}\{q = i\} d\alpha \\ &\geq \int_{\varepsilon'}^1 \sum_{i \geq \alpha N/2} \mathbb{P}\left\{\frac{W}{\alpha} < 1 - \frac{\varepsilon'}{2\sqrt{q}} \mid A = \alpha, q = i\right\} \cdot \mathbb{P}\{q = i\} d\alpha \\ &\geq \int_{\varepsilon'}^1 \sum_{i \geq \alpha N/2} (1 - \varepsilon') \mathbb{P}\{q = i\} d\alpha \geq 1 - 2\varepsilon' - \frac{1}{N} \quad (11) \end{aligned}$$

Заметим, что эта оценка верна, если  $\alpha N/2 > N_0$ , где  $N_0$  из условия неравенства (9). Теперь, если мы положим  $N = \lfloor \varepsilon'^5 n^2 / 64 \rfloor + 1$ , то по неравенствам (10) и (11) для достаточно больших  $n$  выполнено

$$\begin{aligned} \mathbb{P}\{W \leq B\} &= \mathbb{P}\left\{\frac{W}{A} \leq \frac{B}{A}\right\} \geq \mathbb{P}\left\{\frac{W}{A} \leq 1 - \frac{\varepsilon'}{2\sqrt{N}} \ \& \ 1 - \frac{4}{\varepsilon'\sqrt{\varepsilon'}n} \leq \frac{B}{A}\right\} \\ &\geq \mathbb{P}\left\{\frac{W}{A} \leq 1 - \frac{\varepsilon'}{2\sqrt{N}}\right\} + \mathbb{P}\left\{1 - \frac{4}{\varepsilon'\sqrt{\varepsilon'}n} \leq \frac{B}{A}\right\} - 1 \geq 1 - 6\varepsilon' = 1 - \varepsilon \end{aligned} \quad (12)$$

Под словами "для достаточно больших  $n$ " имеется ввиду для тех  $n$ , для которых  $n > 1/\varepsilon' = 6/\varepsilon$  и  $N = \lfloor \varepsilon'^5 n^2 / (2^9 3^3) \rfloor + 1 \geq \max(6/\varepsilon, 2N_0/\alpha)$ . Из неравенства (12) следует, что для достаточно больших  $n$  доля тех последовательностей, в которых  $n$ -ая координата не попала в первый столбец за  $N = \lfloor \varepsilon'^5 n^2 / (2^9 3^3) \rfloor + 1$  вставок, не меньше, чем  $1 - \varepsilon$ , следовательно, для всех меньших  $N$  это тоже верно, так как свойство быть в первом столбце монотонное, т.е. координата, однажды оказавшись в первом столбце, останется там навсегда.  $\square$

Из всего вышесказанного несложно выводится теорема 1.1.

*Доказательство.* Из теорем 4.1 и 5.1 следует, что для любого числа  $\varepsilon > 0$  существуют такие константы  $\tilde{k}(\varepsilon/2), \tilde{K}(\varepsilon/2), n_0$ , что для любого натурального числа  $n > n_0$  существуют подмножества реализаций  $\mathcal{X}_{n,\varepsilon}^1, \mathcal{X}_{n,\varepsilon}^2 \subset \mathcal{X}$ ,  $\mu(\mathcal{X}_{n,\varepsilon}^1) > 1 - \varepsilon/2, \mu(\mathcal{X}_{n,\varepsilon}^2) > 1 - \varepsilon/2$ , такие, что для любой реализации  $x \in \mathcal{X}_{n,\varepsilon}^1$  выполняется неравенство  $N(x, n) \geq \tilde{k}(\varepsilon/2)n^2$ , а для любой реализации  $x \in \mathcal{X}_{n,\varepsilon}^2$  выполняется неравенство  $N(x, n) \leq \tilde{K}(\varepsilon/2)n^2$ . Тогда, полагая  $k(\varepsilon) = \tilde{k}(\varepsilon/2), K(\varepsilon) = \tilde{K}(\varepsilon/2), \mathcal{X}_{n,\varepsilon} = \mathcal{X}_{n,\varepsilon}^1 \cap \mathcal{X}_{n,\varepsilon}^2$ , получаем, что  $\mu(\mathcal{X}_{n,\varepsilon}) > 1 - \varepsilon$ , и для любой реализации  $x \in \mathcal{X}_{n,\varepsilon}$  выполняются неравенства  $k(\varepsilon)n^2 \leq N(x, n) \leq K(\varepsilon)n^2$ . Утверждение о том, что  $k(\varepsilon), K(\varepsilon)$  можно положить равными  $c\varepsilon^5$  и  $C\varepsilon^{-5}$ , соответственно, следует из замечаний сделанных в доказательствах теорем 4.1 и 5.1.  $\square$

## Литература

- [1] И. Ф. Азангулов, Г. В. Овечкин, "Оценка времени попадания координаты схемы Бернулли в первый столбец таблицы Юнга", *Функц. анализ и его прил.*, **54:2** (2020), 78–84.
- [2] Stanley R. (1999). Enumerative combinatorics. Vol 2. Cambridge university press. (Перевод на русский) Стенли Р. Перечислительная комбинаторика. Деревья, производящие функции и симметрические функции: Пер. с англ. — М.: Мир, 2009 — 767 с..
- [3] Knuth D. (1970). Permutations, matrices and generalized Young tableaux. — *Pacific J. Math.*, **34:3**, 709–727.
- [4] Fulton W. (1997). Young tableaux with application to representation theory and geometry. Cambridge university press.
- [5] Kerov S., Vershik A. (1986). The characters of the infinite symmetric group and probability properties of the Robinson–Shensted–Knuth algorithm. — *SIAM J. Alg. Discr. Methods*, **7:1**, 116–123.
- [6] Romik D., Sniady P. (2015). Jeu de taquin dynamics on infinite Young tableaux and second class particles. — *The Ann. of Prob.*, **42:7**, 682–737.

- [7] А.М. Вершик (2020). Комбинаторное кодирование схемы Бернулли и асимптотика таблиц Юнга. — *Функ. Анал. и его Прил.*, **54**:2, 3-24.
- [8] И.Ф. Азангулов (2020). Распределение флуктуации  $P$ -таблиц схемы Бернулли при соответствии RSK. Выпускная квалификационная работа. СПбГУ.